



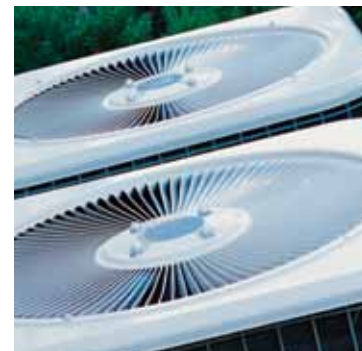
aerospace
climate control
electromechanical
filtration
fluid & gas handling
hydraulics
pneumatics
process control
sealing & shielding



Válvula de expansión termostática J8

Productos y soluciones personalizadas

CATÁLOGO DE RACE 10-10-7 J8-2/ES, MARZO DE 2012



ENGINEERING YOUR SUCCESS.

La válvula de expansión termostática J8

Introducción

Las válvulas de expansión termostática J8 están diseñadas para regular el flujo de refrigerante a los evaporadores mediante el control del recalentamiento. Se pueden utilizar en una gran variedad de aplicaciones de aire acondicionado y refrigeración

Características

- Recalentamiento ajustable
- 8 conjuntos de orificios intercambiables
- Intervalo de temperatura entre -40 °C y +15 °C
- Cargas termostáticas con o sin MOP (Presión máxima de funcionamiento)
- Racores ODF de soldadura (con conector de entrada) o Flare SAE
- Elemento termostático de acero inoxidable
- Bulbo de detección de cobre
- Cumplimiento de directivas CE (cumple las directivas PED, RoHS & REACH)

Especificaciones técnicas

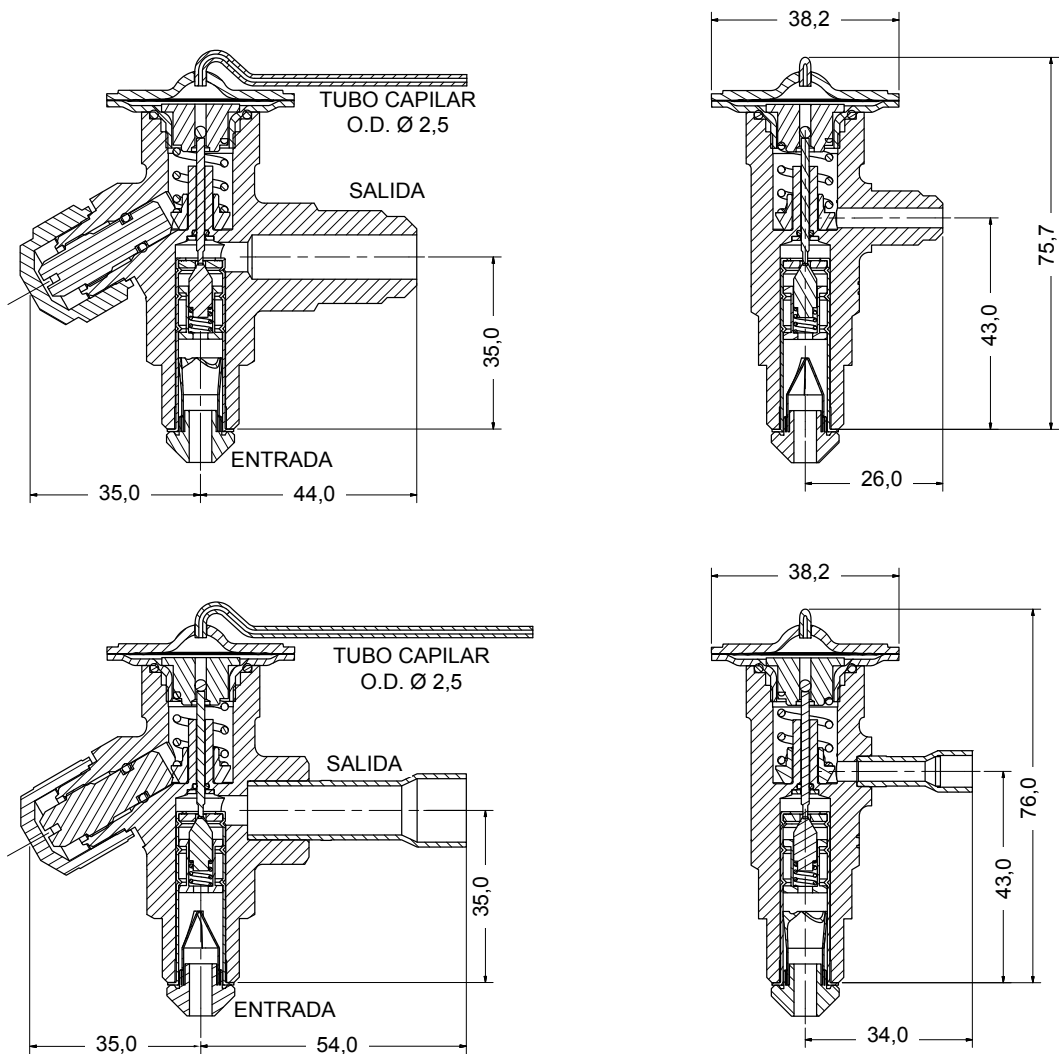
- Temperatura máxima en el bulbo: 100 °C
- Temperatura máxima del cuerpo de la válvula: 121 °C
- Pico de corta duración: 149 °C
- Presión máxima de trabajo MWP: 34 barg
- Presión máxima de ensayo: 38 barg

Las válvulas J8 se suministran como tres componentes individuales que deben pedirse por separado:

- Conjunto de cuerpo de la válvula y elemento termostático
- Conjunto de cartucho y filtro
- Adaptador ODF de entrada (opcional)

Consulte las demás secciones para obtener información sobre la selección y los pedidos.

Montaje de la J8



Todas las dimensiones se indican en milímetros (mm).

Nomenclatura de las válvulas/Instrucciones de pedido

Ejemplo

J8	E	F	-	N	W
Tipo de válvula	<p>"E" indica un ecualizador externo. Omisión de letra</p> <p>"E" indica una válvula con ecualizador interno. P. ej. J8F-NW</p>	<p>Tipo de conexión: (Entrada suministrada siempre como 3/8" Flare, SAE)</p> <p>F = Flare, SAE</p> <p>M = Métrica, ODF</p> <p>S = Estándar, ODF (Unidades habituales en EE. UU.)</p>		<p>Código de Sporlan - Elemento refrigerante Código de color de la etiqueta:</p> <p>J = R134a Azul R401A Rosa</p> <p>S = R404A Naranja R402A Arena R402B Aceituna R502 Morado R507 Verde azulado</p> <p>N = R407C Marrón claro</p>	Carga termostática

Conjunto de cuerpo de la válvula y elemento termostático

Refrigerante	Conexiones			MOP (Presión de funcionamiento máxima) bar / °C	Tipo de válvula	N.º de pieza	Longitud del tubo capilar mm	Rango de temperatura del evaporador °C	
	Entrada	Salida	Ecualizador						
R407C	3/8" SAE	1/2" SAE	1/4" SAE	-	J8EF-NW	600002-000	1500	Entre -40 °C y +15 °C	
				6,9 bar / +17 °C	J8EF-NX100	600003-000			
			Ecualizador interno	-	J8F-NW	600023-000			
				6,9 bar / +17 °C	J8F-NX100	600024-000			
			12 mm ODF	6 mm ODF	-	J8EM-NW			600009-000
					6,9 bar / +17 °C	J8EM-NX100			600010-000
		Ecualizador interno	-	J8M-NW	600030-000				
			6,9 bar / +17 °C	J8M-NX100	600031-000				
		1/2" ODF	1/4" ODF	-	J8ES-NW	600016-000			
				6,9 bar / +17 °C	J8ES-NX100	600017-000			
			Ecualizador interno	-	J8S-NW	600037-000			
				6,9 bar / +17 °C	J8S-NX100	600038-000			
R134a R401A	3/8" SAE		1/2" SAE	1/4" SAE	-	J8EF-JW	600000-000	1500	Entre -40 °C y +15 °C
					4,1 bar / +17 °C	J8EF-JX60	600001-000		
		Ecualizador interno		-	J8F-JW	600021-000			
				4,1 bar / +17 °C	J8F-JX60	600022-000			
		12 mm ODF		6 mm ODF	-	J8EM-JW	600007-000		
					4,1 bar / +17 °C	J8EM-JX60	600008-000		
		Ecualizador interno	-	J8M-JW	600028-000				
			4,1 bar / +17 °C	J8M-JX60	600029-000				
		1/2" ODF	1/4" ODF	-	J8ES-JW	600014-000			
				4,1 bar / +17 °C	J8ES-JX60	600015-000			
			Ecualizador interno	-	J8S-JW	600035-000			
				4,1 bar / +17 °C	J8S-JX60	600036-000			
R404A R402A R402B R502 R507	3/8" SAE	1/2" SAE	1/4" SAE	-	J8EF-SW	600004-000	1500	Entre -40 °C y +10 °C	
				7,6 bar / +12 °C	J8EF-SX110	600005-000		Entre -40 °C y -18 °C	
			Ecualizador interno	2,4 bar / -17 °C	J8EF-SX35	600006-000		Entre -40 °C y +10 °C	
				-	J8F-SW	600025-000		Entre -40 °C y +10 °C	
			Ecualizador interno	7,6 bar / +12 °C	J8F-SX110	600026-000		Entre -40 °C y -18 °C	
				2,4 bar / -17 °C	J8F-SX35	600027-000		Entre -40 °C y +10 °C	
			12 mm ODF	6 mm ODF	-	J8EM-SW		600011-000	Entre -40 °C y +10 °C
					7,6 bar / +12 °C	J8EM-SX110		600012-000	Entre -40 °C y -18 °C
				Ecualizador interno	2,4 bar / -17 °C	J8EM-SX35		600013-000	Entre -40 °C y +10 °C
					-	J8M-SW		600032-000	Entre -40 °C y +10 °C
				Ecualizador interno	7,6 bar / +12 °C	J8M-SX110		600033-000	Entre -40 °C y -18 °C
					2,4 bar / -17 °C	J8M-SX35		600034-000	Entre -40 °C y +10 °C
		1/2" ODF	1/4" ODF	-	J8ES-SW	600018-000		Entre -40 °C y +10 °C	
				7,6 bar / +12 °C	J8ES-SX110	600019-000		Entre -40 °C y -18 °C	
			Ecualizador interno	2,4 bar / -17 °C	J8ES-SX35	600020-000		Entre -40 °C y +10 °C	
				-	J8S-SW	600039-000		Entre -40 °C y +10 °C	
			Ecualizador interno	7,6 bar / +12 °C	J8S-SX110	600040-000		Entre -40 °C y -18 °C	
				2,4 bar / -17 °C	J8S-SX35	600041-000		Entre -40 °C y +10 °C	

Conjunto de cartucho y filtro J8

Conjunto de cartucho y filtro Capacidades nominales, kW 1

Número de artículo	Tipo de cartucho	Capacidades nominales, kW ¹		
		R407C	R134a	R404A
506032-000	C-0X	0,55	0,44	0,42
506033-000	C-00	1,2	1,0	0,77
506034-000	C-01	2,4	1,6	1,4
506035-000	C-02	3,8	2,6	2,1
506036-000	C-03	5,2	4,3	3,9
506037-000	C-04	9,0	7,0	6,3
506038-000	C-05	11,3	8,6	7,7
506039-000	C-06	15,0	9,5	8,2

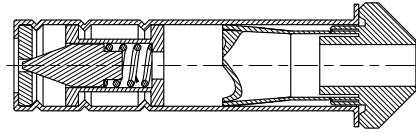
¹ La capacidad nominal se basa en las siguientes condiciones:

Temperatura de evaporación, $T_e = +5\text{ °C}$

Temperatura de condensación, $T_c = +32\text{ °C}$

Temperatura del refrigerante delante de la válvula, $T_i = +28\text{ °C}$

- En el orificio del cartucho se indica el tamaño del orificio. P. ej. C-0X



- Con cada cartucho se suministra una etiqueta metálica que debe colocarse en el tubo capilar cuando se instala el orificio en el cuerpo de la válvula.



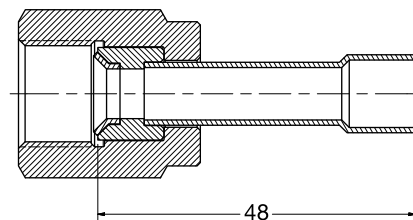
Adaptador ODF de entrada

Todas las válvulas de expansión termostática J8 incluyen racor de entrada 3/8"SAE. Los adaptadores de entrada de soldadura se encuentran disponibles a través de los distribuidores de Parker/Sporlan.

Los adaptadores de entrada de soldadura permiten la instalación de las válvulas de expansión termostática (VET) J8 y facilitan el acceso del conjunto de filtro y orificio del cartucho.

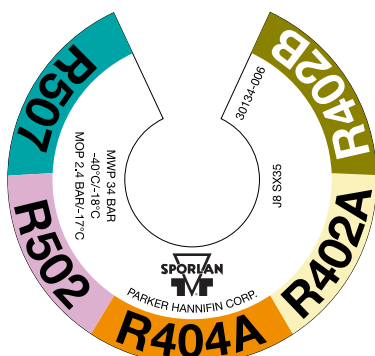
Los adaptadores de entrada de soldadura de Parker/Sporlan se han diseñado para su uso con filtros de orificio abocardado.

Elemento	Descripción
A-6M	Adaptador de entrada de soldadura Entre 3/8" SAE y 6 mm ODF
A-10M	Adaptador de entrada de soldadura Entre 3/8" SAE y 10 mm ODF
A-2	Adaptador de entrada de soldadura Entre 3/8" SAE y 1/4" ODF
A-3	Adaptador de entrada de soldadura Entre 3/8" SAE y 3/8" ODF



Todas las dimensiones se indican en milímetros (mm).

Identificación



La información principal sobre la válvula se proporciona en la etiqueta del elemento:

- Elemento J8 SX35
- Refrigerante
- Presión máxima de trabajo (MWP) = 34 bar
- Intervalo de temperatura de evaporación en °C = -40 °C / -18 °C
- Punto de Presión máxima de funcionamiento (MOP) en bares y °C = MOP 2,4 bar / -17 °C

Tablas de selección

R407C (kW)

Número de orificio	Caída de presión en la válvula (bares)							
	2	4	6	8	10	12	14	16
Temperatura de evaporación de +10 °C								
C-0X	0,44	0,55	0,62	0,67	0,69	0,70	0,69	0,70
C-00	1,0	1,2	1,3	1,4	1,5	1,5	1,5	1,5
C-01	2,1	2,6	3,0	3,1	3,2	3,2	3,3	3,2
C-02	3,1	4,1	4,8	5,2	5,4	5,5	5,6	5,6
C-03	5,2	6,9	8,0	8,6	9,1	9,2	9,3	9,3
C-04	8,8	11,6	13,4	14,6	15,2	15,4	15,6	15,6
C-05	10,6	14,0	16,0	17,4	18,3	18,5	18,7	18,7
C-06	11,8	15,5	17,7	19,1	20,1	20,3	20,5	20,5

Número de orificio	Caída de presión en la válvula (bares)							
	2	4	6	8	10	12	14	16
Temperatura de evaporación de 0 °C								
C-0X	0,44	0,55	0,62	0,66	0,69	0,70	0,70	0,69
C-00	0,96	1,1	1,3	1,4	1,4	1,5	1,5	1,4
C-01	1,8	2,3	2,5	2,7	2,8	2,8	2,9	2,9
C-02	2,7	3,5	4,1	4,3	4,6	4,7	4,8	4,8
C-03	4,5	5,9	6,7	7,4	7,7	7,8	7,9	7,9
C-04	7,5	9,9	11,2	12,2	12,8	13,0	13,2	13,3
C-05	9,2	11,9	13,6	14,7	15,5	15,8	15,9	15,9
C-06	10,1	13,1	14,9	16,2	17,0	17,3	17,5	17,5

Número de orificio	Caída de presión en la válvula (bares)							
	2	4	6	8	10	12	14	16
Temperatura de evaporación de -10 °C								
C-0X	0,42	0,53	0,59	0,63	0,66	0,68	0,68	0,67
C-00	0,90	1,1	1,2	1,3	1,3	1,4	1,4	1,3
C-01	1,5	1,8	2,1	2,3	2,3	2,3	2,4	2,4
C-02	2,3	3,0	3,3	3,6	3,8	3,9	4,0	3,9
C-03	3,8	4,9	5,6	6,0	6,4	6,6	6,7	6,5
C-04	6,3	8,2	9,2	10,0	10,6	10,8	11,0	10,9
C-05	7,7	9,8	11,1	12,0	12,8	13,0	13,2	13,1
C-06	8,6	10,8	12,2	13,2	14,0	14,3	14,5	14,4

Número de orificio	Caída de presión en la válvula (bares)							
	2	4	6	8	10	12	14	16
Temperatura de evaporación de -20 °C								
C-0X	-	0,50	0,56	0,59	0,62	0,63	0,65	0,63
C-00	-	1,0	1,1	1,2	1,2	1,3	1,3	1,2
C-01	-	1,5	1,7	1,8	2,0	2,0	2,0	2,0
C-02	-	2,4	2,7	2,9	3,1	3,1	3,2	3,1
C-03	-	4,0	4,5	4,9	5,1	5,2	5,3	5,2
C-04	-	6,6	7,5	8,1	8,5	8,6	8,8	8,7
C-05	-	8,1	9,1	9,8	10,2	10,5	10,6	10,5
C-06	-	8,8	10,0	10,7	11,3	11,4	11,7	11,6

Número de orificio	Caída de presión en la válvula (bares)							
	2	4	6	8	10	12	14	16
Temperatura de evaporación de -30 °C								
C-0X	-	0,45	0,50	0,54	0,56	0,58	0,58	0,58
C-00	-	0,89	1,0	1,1	1,1	1,2	1,1	1,1
C-01	-	1,3	1,4	1,5	1,6	1,5	1,6	1,6
C-02	-	1,9	2,2	2,7	2,5	2,5	2,5	2,5
C-03	-	3,3	3,7	3,9	4,0	4,1	4,2	4,2
C-04	-	5,3	6,1	6,4	6,7	6,8	7,0	6,9
C-05	-	6,5	7,3	7,7	8,1	8,3	8,4	8,4
C-06	-	7,2	8,0	8,6	8,9	9,1	9,3	9,2

Número de orificio	Caída de presión en la válvula (bares)							
	2	4	6	8	10	12	14	16
Temperatura de evaporación de -40 °C								
C-0X	-	-	0,46	0,48	0,51	0,53	0,53	0,54
C-00	-	-	0,88	0,92	1,0	1,0	1,0	1,0
C-01	-	-	1,2	1,3	1,2	1,3	1,3	1,4
C-02	-	-	1,7	1,9	1,9	1,9	2,0	1,9
C-03	-	-	2,9	3,1	3,2	3,3	3,3	3,3
C-04	-	-	4,8	5,0	5,2	5,3	5,4	5,4
C-05	-	-	5,8	6,2	6,3	6,6	6,6	6,6
C-06	-	-	6,4	6,8	7,0	7,2	7,3	7,3

Factor de corrección (FC) de la temperatura del líquido

Capacidad corregida de la VET = Capacidad del evaporador / Factor de corrección (FC) necesario para el subenfriamiento

Subenfriamiento	4K	10K	15K	20K	25K	30K	35K	40K	45K	50K
Factor de corrección	1,00	1,08	1,14	1,21	1,27	1,33	1,39	1,45	1,51	1,57

Tablas de selección

R134a/R401A (kW)

Número de orificio	Caída de presión en la válvula (bares)				
	2	4	6	8	10
Temperatura de evaporación de +10 °C					
C-0X	0,37	0,47	0,52	0,55	0,56
C-00	0,78	0,95	1,0	1,1	1,1
C-01	1,4	1,7	1,9	2,0	2,0
C-02	2,0	2,6	3,0	3,1	3,2
C-03	3,4	4,4	5,0	5,2	5,4
C-04	5,7	7,3	8,2	8,7	9,0
C-05	6,9	8,9	9,9	10,8	10,9
C-06	7,6	9,7	10,9	11,5	11,9

Número de orificio	Caída de presión en la válvula (bares)				
	2	4	6	8	10
Temperatura de evaporación de 0 °C					
C-0X	0,36	0,46	0,51	0,52	0,54
C-00	0,72	0,86	0,95	1,0	1,0
C-01	1,2	1,4	1,5	1,6	1,6
C-02	1,7	2,2	2,4	2,6	2,6
C-03	2,8	3,7	4,1	4,3	4,4
C-04	4,7	6,0	6,7	7,1	7,3
C-05	5,7	7,3	8,1	8,6	8,8
C-06	6,3	8,0	9,0	9,5	9,7

Número de orificio	Caída de presión en la válvula (bares)				
	2	4	6	8	10
Temperatura de evaporación de -10 °C					
C-0X	0,33	0,42	0,47	0,48	0,48
C-00	0,65	0,77	0,85	0,89	0,90
C-01	0,90	1,2	1,3	1,4	1,4
C-02	1,4	1,8	2,0	2,1	2,1
C-03	2,3	2,9	3,3	3,5	3,6
C-04	3,8	4,8	5,3	5,7	5,9
C-05	4,6	5,8	6,5	6,9	7,1
C-06	5,1	6,4	7,2	7,6	7,7

Número de orificio	Caída de presión en la válvula (bares)				
	2	4	6	8	10
Temperatura de evaporación de -20 °C					
C-0X	0,31	0,39	0,43	0,45	0,46
C-00	0,58	0,68	0,76	0,79	0,80
C-01	0,73	0,90	1,0	1,1	1,1
C-02	1,1	1,4	1,5	1,6	1,7
C-03	1,9	2,3	2,6	2,7	2,8
C-04	3,0	3,8	4,2	4,5	4,6
C-05	3,7	4,6	5,1	5,4	5,5
C-06	4,1	5,0	5,6	5,9	6,1

Número de orificio	Caída de presión en la válvula (bares)				
	2	4	6	8	10
Temperatura de evaporación de -30 °C					
C-0X	0,28	0,35	0,39	0,41	0,42
C-00	0,53	0,61	0,67	0,70	0,70
C-01	0,59	0,72	0,79	0,84	0,86
C-02	0,90	1,1	1,2	1,3	1,3
C-03	1,5	1,9	2,1	2,2	2,2
C-04	2,4	3,0	3,4	3,5	3,6
C-05	3,0	3,6	4,0	4,2	4,3
C-06	3,2	4,0	4,4	4,7	4,8

Número de orificio	Caída de presión en la válvula (bares)				
	2	4	6	8	10
Temperatura de evaporación de -40 °C					
C-0X	0,25	0,31	0,35	0,36	0,37
C-00	0,48	0,55	0,59	0,62	0,63
C-01	0,49	0,59	0,65	0,68	0,69
C-02	0,74	0,89	1,0	1,0	1,0
C-03	1,2	1,5	1,7	1,8	1,8
C-04	2,0	2,4	2,7	2,8	2,8
C-05	2,4	2,9	3,2	3,5	3,5
C-06	2,7	3,2	3,6	3,8	3,9

Factor de corrección (FC) de la temperatura del líquido

Capacidad corregida de la VET = Capacidad del evaporador / Factor de corrección (FC) necesario para el subenfriamiento

Subenfriamiento	4K	10K	15K	20K	25K	30K	35K	40K	45K	50K
Factor de corrección	1,00	1,08	1,13	1,19	1,25	1,31	1,37	1,42	1,48	1,54

Tablas de selección

R404A/R507 (kW)

Número de orificio	Caída de presión en la válvula (bares)							
	2	4	6	8	10	12	14	16
Temperatura de evaporación de +10 °C								
C-0X	0,31	0,39	0,44	0,46	0,47	0,47	0,46	0,45
C-00	0,74	0,90	1,0	1,0	1,1	1,1	1,0	1,0
C-01	1,5	1,9	2,1	2,2	2,3	2,3	2,2	2,1
C-02	2,3	3,0	3,4	3,6	3,7	3,7	3,7	3,6
C-03	3,9	5,1	5,6	6,0	6,2	6,3	6,2	6,0
C-04	6,5	8,5	9,5	10,2	10,5	10,5	10,3	10,1
C-05	7,9	10,2	11,4	12,2	12,5	12,6	12,3	12,0
C-06	8,7	11,3	12,6	13,4	13,8	13,8	13,6	13,2

Número de orificio	Caída de presión en la válvula (bares)							
	2	4	6	8	10	12	14	16
Temperatura de evaporación de 0 °C								
C-0X	0,33	0,41	0,45	0,46	0,47	0,47	0,47	0,45
C-00	0,75	0,88	1,0	1,0	1,0	1,0	1,0	1,0
C-01	1,4	1,7	1,8	1,9	2,0	2,0	2,0	1,9
C-02	2,1	2,6	3,0	3,1	3,2	3,3	3,2	3,1
C-03	3,5	4,4	5,0	5,2	5,4	5,4	5,3	5,2
C-04	5,8	7,4	8,3	8,7	9,0	9,0	8,9	8,7
C-05	7,0	8,9	10,0	10,5	10,8	10,9	10,8	10,4
C-06	7,7	9,8	11,0	11,6	11,9	12,0	11,8	11,4

Número de orificio	Caída de presión en la válvula (bares)							
	2	4	6	8	10	12	14	16
Temperatura de evaporación de -10 °C								
C-0X	0,33	0,41	0,44	0,46	0,46	0,46	0,45	0,45
C-00	0,72	0,84	0,90	0,92	1,0	1,0	0,94	0,91
C-01	1,2	1,4	1,5	1,6	1,6	1,7	1,6	1,6
C-02	1,8	2,2	2,5	2,6	2,7	2,7	2,7	2,6
C-03	2,9	3,7	4,2	4,4	4,5	4,5	4,5	4,4
C-04	4,9	6,3	6,9	7,3	7,4	7,5	7,4	7,2
C-05	5,9	7,6	8,4	8,8	9,0	9,1	9,0	8,7
C-06	6,6	8,4	9,3	9,7	9,9	10,0	9,9	9,6

Número de orificio	Caída de presión en la válvula (bares)							
	2	4	6	8	10	12	14	16
Temperatura de evaporación de -20 °C								
C-0X	-	0,39	0,42	0,44	0,43	0,44	0,43	0,42
C-00	-	0,77	0,83	0,85	0,87	0,87	0,87	0,84
C-01	-	1,2	1,4	1,4	1,4	1,4	1,4	1,4
C-02	-	1,9	2,0	2,1	2,2	2,2	2,2	2,1
C-03	-	3,1	3,5	3,6	3,7	3,7	3,7	3,6
C-04	-	5,1	5,7	5,9	6,1	6,1	6,0	5,9
C-05	-	6,2	6,9	7,2	7,3	7,3	7,2	7,1
C-06	-	6,8	7,6	7,9	8,0	8,0	7,9	7,7

Número de orificio	Caída de presión en la válvula (bares)							
	2	4	6	8	10	12	14	16
Temperatura de evaporación de -30 °C								
C-0X	-	-	0,39	0,41	0,40	0,41	0,40	0,39
C-00	-	-	0,74	0,77	0,77	0,77	0,76	0,74
C-01	-	-	1,1	1,1	1,1	1,1	1,1	1,1
C-02	-	-	1,6	1,7	1,7	1,7	1,7	1,6
C-03	-	-	2,7	2,8	2,9	2,9	2,8	2,7
C-04	-	-	4,5	4,7	4,7	4,7	4,7	4,6
C-05	-	-	5,5	5,7	5,7	5,7	5,7	5,5
C-06	-	-	6,0	6,2	6,3	6,3	6,2	6,1

Número de orificio	Caída de presión en la válvula (bares)							
	2	4	6	8	10	12	14	16
Temperatura de evaporación de -40 °C								
C-0X	-	-	0,35	0,36	0,36	0,36	0,35	0,35
C-00	-	-	0,66	0,67	0,68	0,67	0,66	0,65
C-01	-	-	0,83	0,86	0,87	0,86	0,85	0,82
C-02	-	-	1,3	1,3	1,3	1,3	1,3	1,2
C-03	-	-	2,2	2,2	2,2	2,2	2,2	2,1
C-04	-	-	3,5	3,7	3,7	3,7	3,6	3,5
C-05	-	-	4,3	4,4	4,5	4,4	4,4	4,2
C-06	-	-	4,7	4,9	5,0	4,9	4,8	4,7

Factor de corrección (FC) de la temperatura del líquido

Capacidad corregida de la VET = Capacidad del evaporador / Factor de corrección (FC) necesario para el subenfriamiento

Subenfriamiento	4K	10K	15K	20K	25K	30K	35K	40K	45K	50K
Factor de corrección	1,00	1,10	1,20	1,29	1,37	1,46	1,54	1,63	1,70	1,78



Tecnologías de movimiento y control de Parker

En Parker nos guía un incansable impulso de ayudar a nuestros clientes a ser más productivos y a conseguir una superior rentabilidad mediante el diseño de los mejores sistemas para sus necesidades. Esto conlleva estudiar las aplicaciones del cliente desde muchos puntos de vista para encontrar nuevas formas de añadir valor. Independientemente de cuáles sean sus necesidades tecnológicas de movimiento y control, Parker dispone de la experiencia, la gama de productos y la presencia internacional necesarias para poder ofrecerle siempre una respuesta. Ninguna otra empresa sabe más sobre las tecnologías de movimiento y control que Parker. Si desea obtener más información, llame al 00800 27 27 5374



Aeroespacial **Sectores principales**

Servicios posventa
Transporte comercial
Motores
Aviación general y comercial
Helicópteros
Vehículos de lanzamiento
Aeronaves militares
Misiles
Generación de potencia
Transportes regionales
Vehículos aéreos no tripulados

Productos principales

Sistemas de control y productos de accionamiento
Sistemas y componentes de motores
Sistemas y componentes de transporte de fluidos
Dispositivos de atomización, suministro y medición de fluidos
Sistemas y componentes de combustible
Sistemas de inertización de depósitos de combustible
Sistemas y componentes hidráulicos
Gestión térmica
Ruedas y frenos



Control de la climatización **Sectores principales**

Agricultura
Aire acondicionado
Maquinaria de construcción
Alimentos y bebidas
Maquinaria industrial
Ciencias biológicas
Petróleo y gas
Refrigeración de precisión
Proceso
Refrigeración
Transporte

Productos principales

Acumuladores
Accionadores avanzados
Controles de CO₂
Controladores electrónicos
Secadores de filtros
Válvulas de cierre manuales
Intercambiadores de calor
Mangueras y racores
Válvulas de regulación de presión
Distribuidores de refrigerante
Válvulas de descarga de seguridad
Bombas inteligentes
Válvulas de solenoide
Válvulas de expansión termostáticas



Componentes electromecánicos **Sectores principales**

Aeroespacial
Automatización para fábricas
Ciencias biológicas y medicina
Máquinas herramienta
Maquinaria de envasados
Maquinaria para la industria papelera
Maquinaria y conversión de plásticos
Metales primarios
Semiconductores y electrónica
Textil
Hilos y cables

Productos principales

Unidades y sistemas CA/CC
Accionadores eléctricos, robots y dispositivos deslizantes de pórtico
Sistemas de accionamiento electrohidrostáticos
Sistemas de accionamiento electromecánicos
Interfaces hombre-máquina
Motores lineales
Motores de velocidad gradual, servomotores, unidades y controles
Extrusiones estructurales



Filtración **Sectores principales**

Aeroespacial
Alimentos y bebidas
Plantas y equipos industriales
Ciencias biológicas
Uso marítimo
Equipos móviles
Petróleo y gas
Generación de potencia y energías renovables
Proceso
Transporte
Purificación de aguas

Productos principales

Generadores de gas analítico
Filtros y secadores de aire comprimido
Sistemas de filtrado de aire, refrigerante, combustible y aceite para motores
Sistemas de supervisión del estado de fluidos
Filtros hidráulicos y de lubricación
Generadores de hidrógeno, nitrógeno y aire cero
Filtros de instrumentación
Filtros de membranas y de fibra
Microfiltración
Filtración de aire estéril
Desalinización de agua, filtros y sistemas de purificación



Conducción de fluidos y gas **Sectores principales**

Plataformas elevadoras
Agricultura
Tratamiento de productos químicos de gran escala
Maquinaria de construcción
Alimentos y bebidas
Suministro de combustible y gas
Maquinaria industrial
Ciencias biológicas
Uso marítimo
Minería
Móvil
Petróleo y gas
Energía renovable
Transporte

Productos principales

Válvulas de retención
Conectores para transporte de fluidos de baja presión
Umbilicales para mar profundo
Equipo de diagnóstico
Acoplamiento para mangueras
Mangueras industriales
Sistemas de amarres y cables de alimentación
Mangueras y tubos de PTFE
Enchufes rápidos
Mangueras de goma y termoplásticas
Racores de tubo y adaptadores
Tubos y racores de plástico



Sistemas hidráulicos **Sectores principales**

Plataformas elevadoras
Agricultura
Energía alternativa
Maquinaria de construcción
Sector forestal
Maquinaria industrial
Máquinas herramienta
Uso marítimo
Tratamiento de materiales
Minería
Petróleo y gas
Generación de potencia
Vehículos de recogida de basura
Energía renovable
Sistemas hidráulicos para camiones
Equipos para césped

Productos principales

Acumuladores
Válvulas de cartucho
Accionadores electrohidráulicos
Interfaces hombre-máquina
Unidades de accionamiento híbridos
Cilindros hidráulicos
Motores y bombas hidráulicos
Sistemas hidráulicos
Válvulas y controles hidráulicos
Dirección hidrostática
Circuitos hidráulicos integrados
Tomas de fuerza
Centrales hidráulicas
Accionadores giratorios
Sensores



Neumática **Sectores principales**

Aeroespacial
Tratamiento de materiales y cintas transportadoras
Automatización para fábricas
Ciencias biológicas y medicina
Máquinas herramienta
Maquinaria de envasados
Transporte y automoción

Productos principales

Tratamiento de aire
Racores y válvulas de bronce
Colectores
Accesorios neumáticos
Accionadores y pinzas neumáticas
Válvulas y controles neumáticos
Desconexiones rápidas
Accionadores giratorios
Mangueras de goma y termoplásticas y terminales
Extrusiones estructurales
Tubos y racores termoplásticos
Generadores, copas y sensores de vacío



Control de procesos **Sectores principales**

Combustibles alternativos
Biofarmacéutica
Química y refinación
Alimentos y bebidas
Marítima y construcción naval
Medicina y odontología
Microelectrónica
Energía nuclear
Exploración petrolera en alta mar
Petróleo y gas
Productos farmacéuticos
Generación de potencia
Papel
Acero
Agua/aguas residuales

Productos principales

Instrumentos analíticos
Productos y sistemas de acondicionamiento de muestras analíticas
Racores y válvulas de inyección de sustancias químicas
Racores, válvulas y bombas de suministro de fluoropolímeros
Racores, válvulas, reguladores y controladores digitales de flujo de suministro de gas de alta pureza
Medidores/controladores industriales de flujo de masa
Racores de tubo permanentes sin soldadura
Reguladores y controladores de flujo industriales de precisión
Purga y doble bloque para control de procesos
Racores, válvulas, reguladores y válvulas de colector para control de procesos



Sellado y protección **Sectores principales**

Aeroespacial
Procesamiento químico
Consumo
Potencia de hidráulica
Industrial
Tecnología de la información
Ciencias biológicas
Microelectrónica
Militar
Petróleo y gas
Generación de potencia
Energía renovable
Telecomunicaciones
Transporte

Productos principales

Junta dinámicas
Juntas tóricas elásticas
Diseño y montaje de instrumental electromédico
Protección EMI
Juntas elastoméricas extruidas y cortadas con precisión
Juntas metálicas para altas temperaturas
Formas elastoméricas homogéneas insertadas
Fabricación y montaje de productos sanitarios
Juntas de estanqueidad compuestas con metal y plástico
Ventanas ópticas blindadas
Tubos y extrusiones de silicona
Gestión térmica
Amortiguación de vibraciones

Parker en el mundo

Emiratos Árabes Unidos Oriente Próximo

Sarkis OHANNESSIAN
sohannessian@parker.com
Tel.: (961) 3334622

Alemania, Europa Central Parte de Suiza de habla Alemana

Peter GROLLA
peter.grolla@parker.com
Tel.: +49 (0)171 76 28 417

España Portugal

José-Luis BORRALLO
Tel.: +34 660 416 702
jlborrallo@parker.com

Francia, Bélgica, Norte de África Parte de Suiza de habla Francesa

Eliane EMERIT-BONNOT
Tel.: +33 (0)6 73 89 36 01
ebonnot@parker.com

Italia, Grecia, Malta, Chipre Parte de Suiza de habla Italiana

Andrea BRAGA
abraga@parker.com
Tel.: +39 334 6944386

Turquía

Gokhan GENCEROĞLU
Tel.: +90 530 463 95 35
gokhan.genceroglu@parker.com

Reino Unido, Irlanda, Norte de Europa, países Bálticos, Países Bajos

Angus MACKINTOSH
Tel.: +44 78816 22322
amackintosh@parker.com

Rusia, Europa Oriental

Kenny ADAMSON
Tel.: +44 77853 71229
kadamson@parker.com

Sudáfrica

Alan QUINN
Tel.: +44 79742 37447
aquinn@parker.com

Servicio al cliente:

Parker Hannifin Ltd
Climate and Industrial Controls Group
Refrigeration and Air Conditioning Europe
Cortonwood Drive, Brampton
Barnsley S73 OUF - Reino Unido
Tel.: +44 (0) 1226 273400
Fax: +44 (0) 1226 273401
racecustomerservice@parker.com
www.parker.com/race

Su distribuidor local autorizado de Parker Sporlan

Ed. 2012-03-31

